

- [6] Высокоэффективный эмиттер электронов на основе гексаборида лантана. М.: Атомиздат, 1987.
- [7] Карслу Г., Егер Д. Терропроводность твердых тел. М.: Наука, 1964.

Физический институт  
им. П.Н. Лебедева  
АН СССР, Москва

Поступило в Редакцию  
13 февраля 1989 г.

Письма в ЖТФ, том 15, вып. 11

12 июня 1989 г.

02; 07

ИСПОЛЬЗОВАНИЕ ВОЛНОВОДНОГО  $\text{CO}_2$  ЛАЗЕРА  
В СХЕМЕ РИДБЕРГОВСКОГО ИЗМЕРИТЕЛЯ  
УЛЬТРАСЛАБЫХ ЭЛЕКТРИЧЕСКИХ ПОЛЕЙ

Бетеров И.М., Рябцев И.И.,  
Фатеев Н.В.

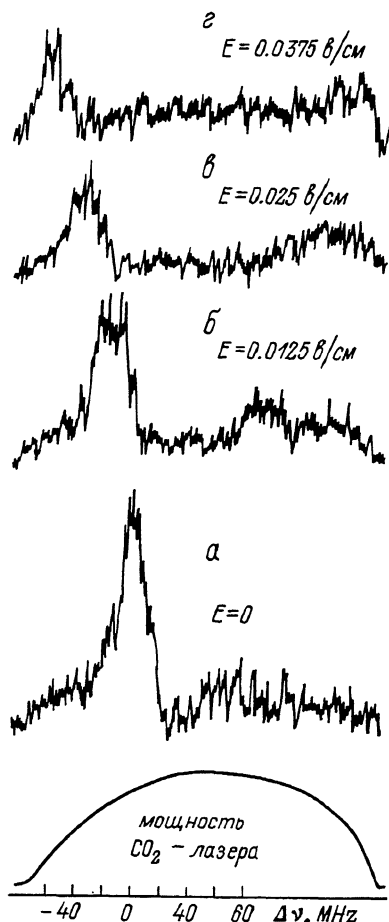
За последнее время появилось несколько работ, в которых предлагаются использовать ридберговские атомы для контроля слабых электрических полей и их пространственного распределения [1, 2]. Контроль и подавление ультраслабых полей требуется при измерениях фундаментальных констант, например постоянной Ридберга [3], в экспериментах по наблюдению несохранения четности в атомных переходах [4], гравитационного ускорения антипротонов [5] и ряде других фундаментальных экспериментов. Кроме того, это может способствовать созданию новых методов изучения поверхности [6], формирования пространственного изображения макромолекул [7]. Развиваемая техника использовала в основном перестраиваемые лазеры оптического диапазона.

Использование ИК диапазона для этих целей, в частности  $\text{CO}_2$  лазеров, обладает рядом преимуществ. Во-первых, ИК диапазон обеспечивает более высокую разрешающую способность за счет существенно меньшей допплеровской ширины линии поглощения и более эффективное взаимодействие. Во-вторых,  $\text{CO}_2$  лазеры могут иметь меньшую ширину линии, высокую стабильность параметров, большую мощность излучения и т.д. Однако, т.к.  $\text{CO}_2$  лазеры работают на наборе фиксированных длин волн от 9.2 до 11.2 мк с небольшой областью плавной перестройки частоты, то возникает вопрос о попадании в точный резонанс с переходами между ридберговскими состояниями. В более ранних работах такое совпадение обеспечивалось наложением небольшого постоянного электрического поля [8, 9]. Хотя при этом ширина наблюдавшегося резонанса может быть связана с присутствием остаточного электрического поля, возникает неоднозначность, обусловленная неоднородностью накладываемого поля, его флуктуациями, наводками т.д. Поэтому обнару-

Рис. 1. Спектр перехода 11p-66d в атоме натрия при различных значениях внешнего электрического поля.

жение точного резонанса в отсутствие внешнего поля было крайне желательным. Обычные CO<sub>2</sub> лазеры вследствие малого диапазона перестройки частоты не имеют совпадений с частотами переходов между ридберговскими состояниями атома Na. Нами была предпринята попытка обнаружения такого совпадения с использованием волноводного CO<sub>2</sub> лазера высокого давления, обладающего существенно более широким диапазоном перестройки частоты [10].

Схема получения ридберговских атомов Na и методика эксперимента подробно описана в наших работах [9, 11]. В экспериментах использовался сканируемый по частоте волноводный CO<sub>2</sub> лазер с шириной линии  $\leq 160$  кГц, работавший на TEM<sub>00</sub> моде с расходностью  $7 \cdot 10^{-3}$  и выходной мощностью до  $\sim 0.5$  Вт. Перестройка по длинам волн, соответствующих отдельным колебательно-вращательным переходам, осуществлялась с помощью дифракционной решетки 100 штрихов/мм. Изучались однофотонные переходы из 11p состояния Na. Переходы из 12 p состояния под действием излучения CO<sub>2</sub> лазера попадали в континуум и приводили к прямой фотоионизации [9]. В полосе перестройки волноводного CO<sub>2</sub> лазера ( $\pm 200$  МГц) было обнаружено несколько совпадений. Минимальной отстройкой от максимума линии генерации волноводного CO<sub>2</sub> лазера обладал переход, идентифицированный нами как 11p-66d. Он соответствовал линии P(26) полосы 9.4 мк. CO<sub>2</sub> лазера ( $\nu_0 = 1041.279 \text{ см}^{-1}$ ,  $\lambda = 9.62 \text{ мкм}$ ). На рис. 1, а приведена запись резонанса однофотонного поглощения в отсутствие внешнего электрического поля. Одновременно приведена зависимость мощности излучения волноводного CO<sub>2</sub> лазера от частоты резонатора. Частотная



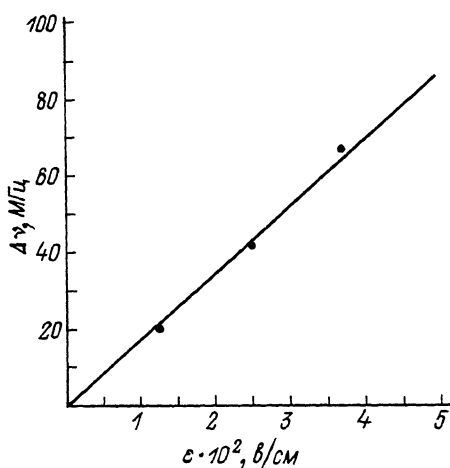


Рис. 2. Зависимость штарковского сдвига перехода  $11p-66d$  в атоме натрия от напряженности внешнего электрического поля.

отстройка от максимума линии генерации составляет  $\sim 50$  МГц. В принципе можно считать, что наблюдаемая ширина линии поглощения ( $\sim 30$  МГц) связана с присутствием остаточного неоднородного электрического поля, поскольку ширина линии  $CO_2$  лазера ( $< 0.1$  МГц), пролетная ширина ( $\sim 3$  МГц), естественная и допплеровская ширины перехода существенно меньше наблюдалась.

Для того чтобы определить поляризумость  $66d$  состояния и абсолютную амплитуду напряженности остаточного поля, были проведены спектроскопические исследования эффекта Штарка в слабом постоянном электрическом поле. На кривых б, в, г рис. 1 приведены записи спектра поглощения перехода  $11p-66d$ , полученные с помощью волноводного  $CO_2$  лазера для различных значений прикладываемого внешнего электрического поля. Рис. 2 показывает зависимость величины штарковского сдвига от напряженности. Видно, что наблюдается линейный эффект Штарка. Это связано, видимо, с тем, что из-за высокой поляризумости и малости квантового дефекта  $d$ -состояний  $Na$  уже в слабых полях происходит смешивание  $d, f, g$  и т.д. электронных конфигураций, и эффект Штарка становится подобным водородному. Приведенный штарковский сдвиг при этом определяется по формулам эффекта Штарка в атоме водорода [12] и для  $(66d)$  состояния оказался равным 1.8 ГГц/В/см.

Анализ экспериментальных данных показывает, что ширина линии поглощения полностью определяется остаточным электрическим полем. Поэтому из ширины резонанса следует верхний предел на его напряженность ( $\leq 5$  мВ/см). Сразу отметим, что пролетная ширина и тем более ширина линии используемого лазера позволяют регистрировать штарковское уширение полями, по крайней мере, на порядок меньшими. Уменьшение пролетной ширины за счет использования, например, "холодных" ридберговских атомов и методов нелинейной спектроскопии [13] для получения узких бездоплеровских резонансов создает возможности дальнейшего повышения точности измерения слабых электрических полей в вакууме и их флуктуаций, развития принципиально новых методов лазерной диагностики поверхности.

В заключение авторы выражают свою благодарность Л.С. Васilenко и Н.М. Дюбе за предоставленную возможность использовать волноводный  $CO_2$ -лазер.

## Список литературы

- [1] Neukammer J., Rinneberg H., Vietzke K., König A., Hieronymus H., Kohl M., Grabka H.J., Wunner G. // Phys. Rev. Lett. 1987. V. 59. P. 2947.
- [2] Herrmann P.R., Hoffnagle J., Schluempf N., Telegni V.L., Weis A. // J. Phys. B. 1986. V. 19. P. 1271.
- [3] Biraben F., Garreau J.C., Julien L. // Europhys. Lett. 1986. V. 2. P. 925.
- [4] Бушья М.А., Потье Л. // УФН. 1988. № 155. С. 299.
- [5] Gabrielse G. et al. // Phys. Rev. Lett. 1986. V. 57. P. 2504.
- [6] Kocher C.A., Taylor C.R. // Phys. Lett. A. 1987. V. 124. P. 68.
- [7] Namiot V.A. // Phys. Lett. A. 1988. V. 129. P. 106.
- [8] Ducass Th., Zimmerman M.L. // Phys. Rev. A. 1987. V. 15. P. 1523.
- [9] Бетеров И.М., Василенко Г.Л., Фатеев Н.В. // Квантовая электроника. 1988. № 15. С. 1488.
- [10] Бетеров И.М., Проворов А.С., Чеботарев В.П. // Квантовая электроника. 1975. № 2. С. 437.
- [11] Бетеров И.М., Рябцев И.И., Фатеев Н.В. // Изв. А7 СССР. Сер. физ. 1988. № 52. С. 1113.
- [12] Ридберговские состояния атомов и молекул. / Под ред. Р. Стеббингса, Ф. Даннинга. М.: Мир. 1985. - Лисица В.С. // УФН. 1987. № 153. С. 379.
- [13] Летохов В.С., Чеботарев В.П. // Принципы нелинейной лазерной спектроскопии. М.: Наука. 1975.

Поступило в Редакцию  
26 февраля 1989 г.